

ВЛИЯНИЕ ЗВУКОВОЙ ВОЛНЫ НА МЕЖДУЗОННЫЕ ОПТИЧЕСКИЕ ПЕРЕХОДЫ В СКРЕЩЕННЫХ ЭЛЕКТРИЧЕСКОМ И МАГНИТНОМ ПОЛЯХ

Е. Ю. Сафронов, Э. П. Синяевский

Изучено влияние интенсивной звуковой волны и внешнего электрического поля напряженности E на междузонные магнетооптические переходы в полупроводниках. Показано, что наличие внешнего электрического поля приводит к заметному изменению формы линии коэффициента поглощения света (к уменьшению ее полуширины и росту в области максимума поглощения с увеличением E). Одновременное действие электрического поля и звуковой волны приводит к возникновению дополнительных пиков в поглощении, связанных с наличием квазиуровней в звуковом поле. Рассчитан коэффициент фотостимулированного поглощения звука в скрещенных электрическом и магнитном полях.

Исследования акустоэлектрических эффектов в полупроводниках в поле инфракрасного лазерного излучения, частота которого значительно меньше ширины запрещенной зоны ϵ_g и сравнима с кинетической энергией зонных носителей, интенсивно проводились в последние годы. Богатую библиографию по этому вопросу и описание фотостимулированных процессов в полупроводниках можно найти в [1]. Отметим также известную возможность поглощения звука частоты ω в скрещенных электрическом и магнитном полях [2], которая реализуется в случае, когда

$$\hbar\omega - (\mathbf{q}\mathbf{u})eER^2 = \hbar\omega_c, \quad (1)$$

\mathbf{q} — волновой вектор звука; \mathbf{u} — единичный вектор в направлении $[\mathbf{E} \times \mathbf{H}]$; E , H — напряженности внешних электрического и магнитного полей; $R^2 = \hbar c / eH$ — квадрат магнитной длины; $\omega_c = eH / m_c c$ — циклотронная частота; c — скорость света в вакууме.

Поглощение звука в скрещенных электрическом и магнитных полях в присутствии высокочастотного лазерного излучения частоты Ω может происходить и при невыполнении неравенства (1) подобно процессам фотостимулированного поглощения звука, описанным в [1]. В работе [3] исследовалось влияние интенсивной звуковой волны на процессы междузонного поглощения света в квантующем магнитном поле и показано, что при определенных условиях форма линии коэффициента поглощения может определяться полем внешней звуковой волны. В настоящей работе рассматривается влияние электрического и магнитного полей ($\mathbf{E} \perp \mathbf{H}$) на оптические свойства полупроводников: внешнее электрическое поле приводит к качественному изменению формы линии коэффициента поглощения света при междузонных переходах.

Для описания указанных выше процессов необходимо знание волновых функций электрона $\Psi_{(c,v)}(\mathbf{r}, t)$ в зоне проводимости c и в валентной зоне v в скрещенных полях и в поле ультразвуковой волны. Далее будет предполагаться выполнение неравенства $\beta_{cv} \ll \epsilon_g$ ($\beta_{cv} = \beta_c + \beta_v$; $\beta_{(c,v)} = m_{(c,v)} c^2 E^2 / 2\hbar^2$; m_c , m_v — эффективные массы электрона и дырки соответственно), которое означает, что движение электрона носит финитный

характер — имеет место квантование Ландау [4]. В этом случае плавно изменяющиеся части $\varphi_{(c, v)}(\mathbf{r}, t)$ волновых функций $\Psi_{(c, v)}(\mathbf{r}, t)$ ($\Psi_{(c, v)}(\mathbf{r}, t) = u_{(c, v)}(\mathbf{r}) \varphi_{(c, v)}(\mathbf{r}, t)$, $u_{(c, v)}(\mathbf{r})$ — блоховские амплитуды в зоне проводимости и в валентной зоне соответственно) удовлетворяют нестационарному уравнению Шредингера

$$i\hbar \frac{d}{dt} \varphi_{(c, v)}(\mathbf{r}, t) = H_{(c, v)} \varphi_{(c, v)}(\mathbf{r}, t), \quad H_{(c, v)} = H_{(c, v)}^0 + V_{(c, v)}, \quad (2)$$

$H_{(c, v)}^0$ — гамильтониан, описывающий движение электрона в скрещенных ($\mathbf{E} \parallel Oy$, $\mathbf{H} \parallel Oz$) полях [4].

Взаимодействие электронов со звуковой волной, длина волны которой мала по сравнению с длиной свободного пробега электрона, можно рассматривать как поглощение и испускание электронами акустических фононов [2]. Тогда оператор взаимодействия электронов зоны проводимости (валентной зоны) со звуковой волной можно представить в виде ($\mathbf{q} \parallel Ox$)

$$V_{(c, v)} = \frac{1}{2} V_{(c, v)}^0 [e^{iqx} e^{-i\omega t} + e^{-iqx} e^{i\omega t}], \quad [V_{(c, v)}^0]^2 = \frac{2IE_{(c, v)}^2}{\rho_0 v^3},$$

I — интенсивность звуковой волны, $E_{(c, v)}$ — константы деформационного потенциала для электронов и дырок соответственно, ρ_0 — плотность кристалла, v — скорость звука.

Отметим, что в рассматриваемой конфигурации $\mathbf{q} \perp \mathbf{E}$, $\mathbf{q} \perp \mathbf{H}$ поглощение звуковой волны внутри одной зоны Ландау (из-за закона сохранения энергии) отсутствует. Поглощение звука, связанное с переходами между уровнями Ландау, маловероятно, если

$$\rho_{(c, v)}^1 = \frac{qR}{2} \left[\frac{2IE_{(c, v)}^2}{\rho_0 v^3 \hbar^2 \bar{\omega}^2} \right]^{1/2} \ll 1, \quad \hbar\bar{\omega} = \hbar\omega + qeER^2. \quad (3)$$

Последнее неравенство с хорошей степенью точности выполняется и для интенсивных звуковых полей, если $qR/2 \ll 1$. В дальнейших расчетах будем считать, что неравенство (3) выполняется, и поэтому будем пренебрегать «смешиванием» уровней Ландау под действием звуковой волны. Решение уравнения (2) будем искать в виде разложения по собственным функциям $\Theta_{\alpha}^{(c, v)}(\mathbf{r})$ оператора $H_{(c, v)}^0$

$$\varphi_{\alpha}^{(c)}(\mathbf{r}, t) = \sum_{\alpha'} B_{\alpha\alpha'}^{(c)}(t) \Theta_{\alpha'}^{(c)}(\mathbf{r}) e^{-\frac{it}{\hbar} \varepsilon_{\alpha'}^{(c)}}, \quad (4)$$

$$\varepsilon_{\alpha}^{(c)} = \frac{\hbar^2 k_x^2}{2m_c} + \left(n + \frac{1}{2}\right) \hbar\omega_c - eEk_x R^2 + \beta_c,$$

$\alpha(k_x, k_z, n)$ — квантовые числа носителя в скрещенных электрическом и квантующем магнитном полях. Коэффициенты $B_{\alpha\alpha'}^{(c)}(t)$ удовлетворяют дифференциальному уравнению

$$i\hbar \frac{d}{dt} B_{\alpha\alpha'}^{(c)}(t) = V_c^0 \sum_{n'} e^{i(n-n')\omega_c t} [B_{\alpha\alpha'}^{(c)}; k_x - q, k_x, n'](t) u_{n'n}^- e^{-i\bar{\omega} t} +$$

$$+ B_{\alpha\alpha'}^{(c)}; k_x + q, k_x, n'](t) u_{n'n}^+ e^{i\bar{\omega} t}],$$

$$u_{n'n}^{\pm} = \left[\frac{2^n n!}{2^{n'} n!} \right]^{1/2} \left(\pm \frac{qR}{2} \right)^{n-n'} L_{n'}^{(n-n')} \left(\frac{q^2 R^2}{2} \right), \quad n' \leq n,$$

$$\hbar\bar{\omega} = \hbar\omega + q\alpha R, \quad \alpha = eER, \quad (5)$$

($L_n^{(n-n')}(x)$ — полиномы Лагерра) с начальным условием $B_{\alpha\alpha'}^{(c)}(0) = \delta_{\alpha\alpha'}$. Если ограничиться членами суммы с $n = n'$ в правой части (5), что оправдано при выполнении неравенства (3) (последнее означает, что переходы между уровнями Ландау под действием звука маловероятны), то решение (5) может быть записано в виде

$$B_{\alpha\alpha'}^{(c)}(t) = \delta_{k_x k_x'} \int_{-\infty}^{\infty} e^{i(k_x - k_x')x} \exp\left\{-\frac{i}{\hbar} V_c^0 u_n \int_0^t \cos(qx + \omega t_1) dt_1\right\} dx, \quad (6)$$

$$u_n = e^{-q^2 R^2/4} L_n \left[\frac{q^2 R^2}{2} \right].$$

Волновая функция электрона в валентной зоне получается соответствующей заменой $E_c \rightarrow E_v$, $m_c \rightarrow m_v$.

Определим число переходов электронов W из состояния $\Psi_{(c)}(\mathbf{r}, t)$ в состояние $\Psi_{(v)}(\mathbf{r}, t)$ в единицу времени в единице объема с поглощением света в поле звуковой волны. Известно, что W имеет расходимости, связанные с особенностями плотности электронных состояний в скрещенных электрическом и квантующем магнитном полях, которые могут быть устранены учетом взаимодействия носителей с акустическими колебаниями кристаллической решетки или рассеяния на примесях. Используя результаты работы [5], представим W в виде

$$W = W_0 e^{-2\gamma^2} \sum_{k_x k_x'} J_p^2(\rho) \int_{-\infty}^{+\infty} dt \exp\left\{-\Gamma_{cv} |t| - \frac{it}{\hbar} \left(\frac{\hbar^2 k_z^2}{2\mu} + \Delta_p\right)\right\}, \quad (7)$$

$$W_0 = \frac{e^2 |A_0|^2}{\hbar^2 c^2 V} \left| \frac{P_{cv}}{m_0} \right|^2, \quad \Delta_p = \varepsilon_g + \hbar\omega_H/2 - \beta_{cv} - \hbar\Omega + p\hbar\bar{\omega},$$

A_0 — амплитуда электромагнитной волны ($|A_0|^2 = c^2 E_l^2 / 4\pi\Omega^2$), E_l — напряженность электрического поля неполяризованного лазерного излучения, $\omega_H = eH/\mu c$, $\mu = m_c^{-1} + m_v^{-1}$, $J_p(x)$ — функции Бесселя действительного аргумента, $\gamma = (m_c + m_v) c R E / 2\hbar H$, P_{cv} — матричный элемент оператора импульса на волновых функциях зонных электронов,

$$\rho^2 = \frac{2I(E_c - E_v)^2}{\rho_0 v^3 (\hbar\bar{\omega})^2} e^{-q^2 R^2/2}. \quad (8)$$

При записи (7) мы для простоты ограничились рассмотрением оптических переходов из нулевого уровня Ландау валентной зоны на нулевой уровень Ландау зоны проводимости, а также случаем собственного невырожденного полупроводника (т. е. в валентной зоне нет дырок, а в зоне проводимости отсутствуют электроны). Заметим, что (7) получено без использования теории возмущений по взаимодействию электрона со звуковой волной и, следовательно, справедливо и при $\rho > 1$ (однако $\rho_{(c,v)}^1 \ll 1$, так как $qR \ll 1$). Если $\rho > 1$, то гармоники функции Бесселя ($p > 1$) могут вносить заметный вклад в исследуемые магнетооптические переходы. Согласно [5], Γ_{cv} связана с вероятностью рассеяния носителей на акустических колебаниях кристаллической решетки в скрещенных электрическом и магнитном полях и в случае квантующего магнитного поля (когда можно не учитывать процессы рассеяния носителей с переходом в другие зоны Ландау) определяется следующим образом:

$$\Gamma_{cv} = \Gamma_c + \Gamma_v, \quad \Gamma_c = \frac{\pi}{\hbar} \sum_{\mathbf{x}} |C_{\mathbf{x}}^{(c)}|^2 e^{-x_1 R^2} \left\{ (1 + N_{\mathbf{x}}) \delta \left[\frac{\hbar^2 x_z^2}{2m_c} + \frac{\hbar^2 k_x^2}{m_c} - \alpha x_z R - \hbar v x \right] + N_{\mathbf{x}} \delta \left[\frac{\hbar^2 x_z^2}{2m_c} - \frac{\hbar^2 k_x^2}{m_c} + \alpha x_x R + \hbar v x \right] \right\}, \quad (9)$$

$$x^2 = x_z^2 + x_x^2 + x_y^2 \equiv x_z^2 + x_1^2,$$

$N_{\mathbf{x}}$ — функция распределения акустических колебаний кристаллической решетки с импульсом \mathbf{x} ; $|C_{\mathbf{x}}^{(c)}|^2 = E^2 \hbar^2 x / 2\rho_0 v V$; V — объем основной области кристалла; Γ_v получается из (9) соответствующей заменой $E_c \rightarrow E_v$, $m_c \rightarrow m_v$. Отметим, что при записи (9) мы не учитывали влияние внешней звуковой волны на процессы рассеяния электронов, что справедливо при выполнении неравенства (3). По этой же причине в дальнейшем будем пренебрегать экспоненциальным множителем в (8).

В случае неупругого рассеяния и при $N_x \approx k_0 T / \hbar v_x$ (T — абсолютная температура) выражение (9) можно записать в виде

$$\Gamma_c = \gamma_c |k_x| e^{-\lambda^2} \{I_{1/2}(\lambda^2) + I_{-1/2}(\lambda^2)\}, \quad (10)$$

$$\lambda = \frac{\hbar^2 k_x^2}{4m_e a}, \quad \gamma_c = \frac{E_c^2 k_0 T}{8 \sqrt{2\pi} \rho_0 v^2 \hbar R^2 a},$$

$I_\nu(x)$ — функции Бесселя мнимого аргумента. При $E \rightarrow 0$ выражение (10) переходит в

$$\Gamma_c^0 = \frac{E_c k_0 T}{2\pi \rho_0 v^2 \hbar^3 R^2 |k_x|}, \quad (11)$$

полученное в [5].

В результате коэффициент поглощения света при переходе электрона из состояния $\Psi_{(v)}(\mathbf{r}, t)$ в $\Psi_{(c)}(\mathbf{r}, t)$ можно записать в виде

$$K(\Omega) = \frac{2e^2}{\pi c \Omega} \left| \frac{P_{cv}}{m_0} \right|^2 \frac{\gamma_c \mu^2}{\hbar R^2 a m_c} \Phi(\Omega), \quad (12)$$

$$\Phi(\Omega) = e^{-2\gamma^2} \sum_p J_p^2(\rho) J(\Delta_p),$$

$$J(\Delta_p) = \int_0^\infty \frac{y T(y) dy}{T^2(y) y^2 \gamma_c^2 \mu S + (y^2 + \Delta_p S/2)^2},$$

$$T(y) = e^{-y^4} [I_{1/4}(y^4) + I_{-1/4}(y^4)] + \left(\frac{E_c}{E_c} \right)^2 e^{-y^4} [I_{1/4}(y^4 t) + I_{-1/4}(y^4 t)],$$

$$S = \mu / a m_c, \quad t = m_c / m_v.$$

Если пренебречь взаимодействием электронов с колебаниями кристаллической решетки ($\Gamma_{cv} = 0$) и со звуковой волной ($\rho = 0$), то $K(\Omega)$ совпадает с выражением для коэффициента поглощения света, полученным в [4].

Рассмотрим влияние электрического поля на частотную зависимость $K_0(\Omega)$ в отсутствие звуковой волны ($\rho = 0$). Отметим, что форма линии в этом случае определяется параметром Γ_{cv} , который существенным образом зависит от напряженностей электрического и магнитного полей. В частности, при $k_x \rightarrow 0$, $\Gamma_{cv}^0 \rightarrow \infty$ ($E = 0$), в то время как Γ_{cv} ($E \neq 0$) стремится к постоянному значению, т. е. электрическое поле приводит к заметному гашению процессов рассеяния при малых k_x . На вставке к рис. 1 приведена зависимость $\Gamma_{cv}(\lambda)$ (в относительных единицах) для различных значений напряженности электрического поля. Расчеты проведены для полупроводника типа InSb ($\epsilon_g = 0.3$ эВ, $\rho_0 = 5$ г/см³, $v = 2 \cdot 10^8$ см/с, $E_c = 7$ эВ, $E_v = 1$ эВ, $m_c = 0.014 m_0$, $m_v = 0.28 m_0$) при $H = 23$ кЭ, $T = 3$ К. Кривые 1, 2, 3 получены соответственно для значений напряженности электрического поля 0.05, 5, 50 В/см. Как следует из этого рисунка, с ростом E (при $2\gamma^2 \ll 1$) процессы рассеяния электрона на акустических колебаниях кристаллической решетки при небольших значениях λ заметным образом подавляются. Именно это обстоятельство приводит к тому, что полуширина линии поглощения с ростом E уменьшается, а величина максимума поглощения растет. На рис. 1 приведена частотная зависимость коэффициента поглощения света (в относительных единицах) для различных значений E (кривые 1, 2, 3 получены соответственно для 0.05, 5, 50 В/см). При значениях $E > 500$ В/см линия продолжает сужаться, но уменьшается в области максимума за счет экспоненциального множителя в (12). Таким образом, учет рассеяния электронов позволяет выявить немонотонность зависимости величины максимума коэффициента поглощения $K_0^{\max}(\Omega)$ от напряженности внешнего электрического поля.

Рассмотрим влияние звуковой волны на коэффициент поглощения света. Как легко видеть из (12), $K(\Omega)$ имеет максимумы при $\Delta_p \approx 0$ (разнесенные по частоте для различных p), которые связаны с наличием квазиуровней зонных состояний в интенсивном звуковом поле, причем

энергетическое расстояние между соседними максимумами определяется величиной $\hbar\omega$ и может меняться с изменением напряженности электрического или магнитного полей. Величина $K(\Omega)$ в максимумах определяется параметром ρ , который в свою очередь является чувствительной функцией E и интенсивности звуковой волны. На рис. 1 приведена зависимость $\Phi(\Omega)$ (которая определяет форму линии $K(\Omega)$) при $\rho=1.5$ ($I=1$ Вт/см²), $E=500$ В/см, $H=23$ кЭ, $\omega=10^{19}$ с⁻¹ и $T=10$ К. На этом рисунке изображены только три пика, соответствующих значениям $\rho=0, \pm 1$.

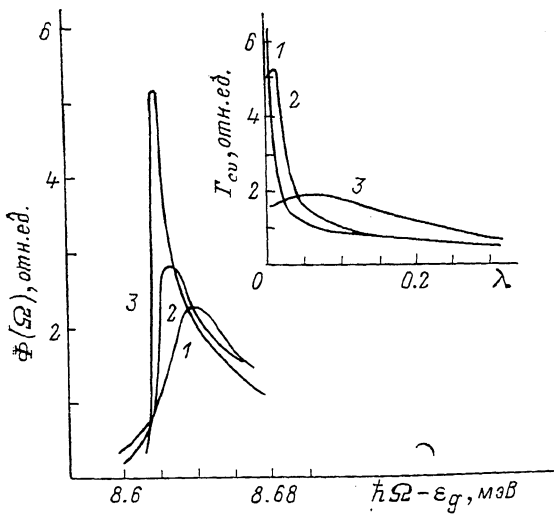


Рис. 1. Изменение формы линии коэффициента поглощения света с ростом напряженности электрического поля E .

На вставке зависимость $\Gamma_{cv}(\lambda)$ для различных E .

Определим коэффициент поглощения звука Γ при рассмотренных выше переходах. Используя выражение (7) (при $\rho < 1$), число переходов электронов из состояния $\Psi_{(v)}$ (r, t) в состояние $\Psi_{(c)}$ (r, t) под действием лазер-

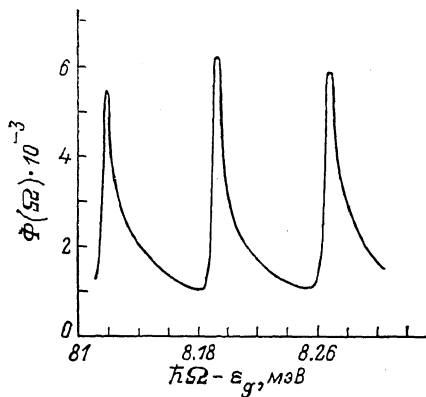


Рис. 2. Частотная зависимость коэффициента поглощения света в постоянном электрическом и интенсивном звуковом поле.

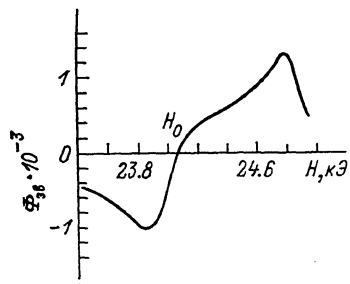


Рис. 3. Зависимость $\Phi_{zv}(\Omega)$ от напряженности магнитного поля.

ного излучения с поглощением (испусканием) одного кванта звуковой волны можно представить в виде

$$W^\mp = W_0 e^{-2\gamma^2} \left[\frac{\rho}{2} \right]^2 \sum_{k_x k_z} \int_{-\infty}^{+\infty} dt \exp \left\{ -\Gamma_{cv} |t| - \frac{it}{\hbar} \left(\frac{\hbar^2 k_z^2}{2\mu} + \Delta^\mp \right) \right\}, \quad (13)$$

$$\Delta^\mp = \varepsilon_g - \hbar\Omega + \hbar\omega_H/2 - \beta_{cv} \mp \hbar\omega.$$

При записи (13) для простоты учитывались только переходы электрона из нулевого уровня Ландау валентной зоны на нулевой уровень Ландау зоны проводимости. Тогда Γ ($\Gamma = (W^- - W^+) \hbar\omega/I$) определяется следующим образом:

$$\Gamma = \frac{e^2}{4\pi^2\Omega^2} \left| \frac{P_{cv}}{m_0} \right|^2 \frac{\gamma_c \mu^2}{\hbar^3 R^2 a m_c} \frac{(E_c - E_v)^2 E_v^2 \omega}{\rho_0 v^3 \bar{\omega}^2} \Phi_{\text{эв}}(\Omega), \quad (14)$$

$$\Phi_{\text{эв}}(\Omega) = e^{-2\tau^2} [J(\Delta^-) + J(\Delta^+)].$$

Если же константы деформационных потенциалов электронов и дырок равны ($E_c = E_v$), то, согласно (14), коэффициент поглощения звука в рассматриваемых выше приближениях равен нулю, что на языке многоквантовых переходов [6] означает отсутствие пересечения адиабатических потенциалов начального и конечного электронных состояний.

На рис. 3 приведена зависимость $\Phi_{\text{эв}}(\Omega)$ от напряженности магнитного поля. Расчет проведен для полупроводника типа GaAs ($\epsilon_g = 1.52$ эВ, $\rho_0 = 5$ г/см³, $v = 2 \cdot 10^5$ см/с, $E_c = 7$ эВ, $E_v = 1$ эВ, $m_c = 0.07 m_0$, $m_v = 0.5 m_0$) при $\hbar\Omega - \epsilon_g = 1.8$ мэВ, $E = 250$ В/см, $\omega = 10^{10}$ с⁻¹, $T = 10$ К. При значении магнитного поля $H < H_0$ Γ отрицательно и, следовательно, должно наблюдаться усиление звуковой волны. Это связано с тем, что при таких значениях напряженности магнитного поля в основном происходит поглощение лазерного фотона с излучением кванта звука. При $H > H_0$ наиболее активный процесс с поглощением звукового кванта. В максимуме поглощения ($H = 24.8$ кЭ) при напряженности электрического поля лазерного излучения $E_l = 10^3$ В/см (что находится далеко от порога разрушения полупроводникового материала) $\Gamma_M = 1.7 \cdot 10^3$ см⁻¹; при $H = 23.9$ кЭ наблюдается максимум усиления, который по абсолютной величине примерно совпадает с Γ_M .

Предлагаемый механизм поглощения (усиления) звуковой волны, заслуживает внимания, если учесть, что в отсутствие лазерного излучения звук практически не поглощается. Большие значения Γ позволяют надеяться на экспериментальное обнаружение рассмотренного механизма поглощения (усиления) звука.

В заключение отметим, что эффекты, подобные описанным выше, могут наблюдаться и при переходах электронов из произвольного уровня Ландау валентной зоны n_v на произвольный уровень Ландау зоны проводимости n_c . Их рассмотрение качественно ничем не отличается от случая $n_c = n_v$.

Список литературы

- [1] Эшштейн Э. М., Шмелев Г. М., Цуркан Г. И. Фотостимулированные процессы в полупроводниках. Кипшиев: Штиинца, 1987. 168 с.
- [2] Такер Дж., Ремптон В. Гиперзвук в физике твердого тела. М.: Мир, 1975. 453 с.
- [3] Сивянский З. П., Сафронов Е. Ю. // ФТТ. 1990. Т. 32. № 9. С. 2836—2838.
- [4] Ансельм А. И. Введение в теорию полупроводников. М.: Наука, 1978. 615 с.
- [5] Сивянский Э. П. Кинетические эффекты в электрон-фононных системах в поле лазерного излучения. Кипшиев: Штиинца, 1976. 170 с.
- [6] Коварский В. А. Многоквантовые переходы. Кипшиев: Штиинца, 1974. 228 с.

Институт прикладной физики
АН МССР
Кипшиев

Поступило в Редакцию
22 октября 1990 г.
В окончательной редакции
5 марта 1991 г.